

# I-67 粘性支点を有する片持梁の振動について

東北大学工学部 正員 倉西茂

東北工業大学 正員 高橋龍夫, 正員 松山正将

まえがき、ニニア"扱う粘性支点とは次のようなものを云う。図(1-1)に示されるように、梁は集中的に粘性抵抗力を作用させた場合、この粘性抵抗力の作用位置及びその大きさにより、動的には、図(1-2)で示されるように、あたかもこの位置に支点を設けた場合に類似した挙動を有することが考えられ、又これ等の性質は、梁の種類によるとか、模型によつてもたしかめられる。例えは、図(2-1)で示される片持梁に作用している粘性抵抗力を大きくするとこの片持梁は粘性抵抗力の作用している位置に支点を有する連続梁の曲げ振動に類似した振動を行つことがある。今、片持梁の自由端に変位を与へ、瞬時に、この変位を取り去ると片持梁は減衰振動を行つが、粘性抵抗力がある一定値以上にし、かつその作用位置を適当に選ぶ(高次の曲げ振動のノード、例えは2次振動のノード以外の位置)と片持梁は図(2-2)に示されるような振動形の曲げ振動に類似した振動をし、粘性抵抗力の増加とともにこの傾向は一層明らかになる。粘性抵抗力の小さい場合には、減衰作用を及ぼす  $\alpha > 10^{-1}$ <sup>\*</sup> であり、支点といふ性格は少ない。

本文では、このような粘性支点をもつた梁の曲げ振動の一解析法と、片持梁を例にとり示すものであり、粘性支点の持つ特性を明らかにしようとするものである。

## 運動方程式と解法

図(3-1)に示される片持梁の曲げ振動方程式はテイラーのデルタ関数を用いて次のようにならる。

$$EI \frac{d^4 y}{dx^4} + \frac{w}{g} \frac{d^2 y}{dt^2} + C \frac{\partial y}{\partial t} \delta(x - x_0) = 0, \quad (1)$$

ここで  $T$  はリラ刚性  $EI$  は一定とし、粘性抵抗係数を  $C$  とする。

(1)式において、 $a^2 = EIg/w$ ,  $n = Cg/w$  とし、初期条件として、図(3-1)に示されるように自由端を  $y_0$ だけ変位せたのを放す。即ち、 $y(x, 0) = y_0 x^2 (3l - x) / 2l^3$ ,  $\left[\frac{\partial^2 y}{\partial x^2}\right]_{x=0} = 0$ ,  $\left[\frac{\partial^3 y}{\partial x^3}\right]_{x=0} = 0$  を与え、式についてラプラス変換を行つて(2)式を得る。

$$u^2 Y_t - u y_0 (3l - x) x^2 / 2l^3 + n [u Y_t - y_0 (3l - x) x^2 / 2l^3] \delta(x - x_0) + a^2 \frac{d^4 Y_t}{dx^4} = 0, \quad (2)$$

$$\text{但し } L_x[y(x, t)] = Y_t(x, u)$$

さらには(2)式を次の境界条件のもとに  $x$ についてラプラス変換を行つて(3)式を得る。

$$y(0, l) = 0, \quad \left[\frac{\partial y}{\partial x}\right]_{x=0} = 0, \quad \left[\frac{\partial^2 y}{\partial x^2}\right]_{x=l} = 0, \quad \left[\frac{\partial^3 y}{\partial x^3}\right]_{x=l} = 0, \quad \left[\frac{\partial^4 y}{\partial x^4}\right]_{x=0} = \Phi_1, \quad \left[\frac{\partial^4 y}{\partial x^4}\right]_{x=l} = \Phi_2.$$

$$L_x[\Phi_1] = \Phi_1, \quad L_x[\Phi_2] = \Phi_2, \quad [Y_t]_{x=0} = Y_{t0}, \quad L_x[Y_t] = Y_{tx}(r, u)$$

$$Y_{tx} = \frac{r}{r^4 - \lambda^4} \phi_1 + \frac{1}{r^4 - \lambda^4} \phi_2 - \frac{pu}{r^4 - \lambda^4} Y_{tx} e^{-\lambda r} + \frac{6ku}{a^2} \left\{ \frac{l}{r^2(r^4 - \lambda^4)} - \frac{1}{r^4(r^4 - \lambda^4)} \right\} + \frac{p\eta_0}{r^4 - \lambda^4} e^{-\lambda r} \quad (3)$$

但し、 $\eta_0 = y_0(3l-x_0)x_0^2/2l^3$ ,  $u^2 = -a^2\lambda^4$ ,  $pa^2 = u$ , である。 (3)式を逆変換して次式を得る。

$$\frac{k_0 x^2}{u} (3l-x) + \frac{1}{2\lambda^3} \left[ \lambda (\phi_1 - \frac{6k\theta}{u}) (\cosh \lambda x - \cos \lambda x) + (\phi_2 + \frac{6k}{u}) (\sinh \lambda x - \sin \lambda x) + (p\eta_0 - pu Y_{tx}) \{ \sinh \lambda (x-x_0) - \sin \lambda (x-x_0) \} \right] \quad (4)$$

(4)式に先に述べた境界条件の2つを代入して、さらに次式を得る。

$$Y_{tx} = \frac{k}{u} (3l x^2 - x^3) - \frac{6kl^3}{u\mu^3} \cdot \frac{1}{D} \left[ (2\mu A_1 + i\varepsilon \theta_2 A_3) (\varphi_1(x) \mp \frac{i\varepsilon}{2\mu} \theta_1 \varphi_3(x)) - (2\mu A_1 + i\varepsilon \theta_1 A_3) (\varphi_2(x) \mp \frac{i\varepsilon}{2\mu} \theta_2 \varphi_3(x)) \right] \quad (5)$$

$$D = 2\mu(A_1 A_5 - A_2 A_4) \mp i\varepsilon \{ \theta_1(A_3 A_5 - A_2 A_6) + \theta_2(A_1 A_6 - A_3 A_4) \}, \quad i = \sqrt{-1}, \quad \varepsilon = \alpha p l = C l \sqrt{g/EIw}$$

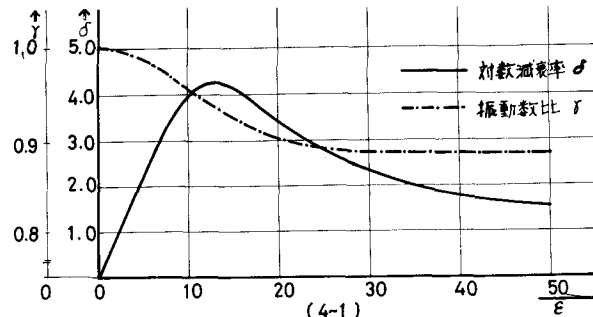
$$A_1 = \cosh \lambda l + \cos \lambda l, \quad A_2 = \sinh \lambda l + \sin \lambda l, \quad A_3 = \sinh \lambda (l-x_0) + \sin \lambda (l-x_0), \quad A_4 = \sinh \lambda l - \sin \lambda l,$$

$$A_5 = A_1, \quad A_6 = \cosh \lambda (l-x_0) + \cos \lambda (l-x_0), \quad \theta_1 = \cosh \lambda x_0 - \cos \lambda x_0, \quad \theta_2 = \sinh \lambda x_0 - \sin \lambda x_0,$$

$$\varphi_1(x) = \cosh \lambda x - \cos \lambda x, \quad \varphi_2(x) = \sinh \lambda x - \sin \lambda x, \quad \varphi_3(x) = \sinh \lambda (x-x_0) - \sin \lambda (x-x_0), \quad \mu = \lambda l,$$

(5)式の右辺第1項の逆変換は明らかに、 $y_0(3l x^2 - x^3)/2l^3$ となり初期値である。右辺第2項の逆変換は、右辺第2項と $e^{\lambda t}$ との積の、 $D=0$ の根に対する留数の和に等しい。この根を $\mu_j = \alpha_j \pm i\beta_j$ とすれば、片持深は振動数 $\omega_j = (\alpha_j^2 - \beta_j^2)^{1/2} / EIg/w$ 、対数減衰率 $\delta_j = 4\pi\alpha_j\beta_j / (\alpha_j^2 - \beta_j^2)$ なる粘性減衰振動を行うことになる。一例として粘性抵抗力が固定端より $l/3.0$ に作用する場合に振動性状がどのように変化するかを、振動数および減衰率の変化状態により示したものが図(4-1)である。図は、左Y軸に振動数比 $\varepsilon$ 、右Y軸に対数減衰率 $\delta$ をとり、左X軸に $\varepsilon = Cl \sqrt{g/EIw}$ をとる。 $\varepsilon = 0$ は片持深の2次の曲げ振動であり振動数比はこの2次振動を基準にしている。

明らかに、振動数は粘性抵抗力の増加とともに一定値に近づく。この



一定値は粘性抵抗力の作用位置に支点を設けた連続ばかり(2-2)の最短次の振動数に相当している。一方、減衰率は粘性抵抗力の増加とともに一つのピークを示したのち徐々に減少していく。 $\varepsilon = Cl \sqrt{g/EIw} > 30.0$ では、振動数にはほとんど変化はみられないが、対数減衰率はかなりの値を示している。これは粘性抵抗力の作用位置(粘性支点)の運動があることを示しており、粘性支点の一つの特徴といえる。 $D=0$ を満足させる根は無数にあるが、従って実際の振動はこれらの根に相当する振動の和であるが今圖はこのうちの一つの振動をとりあげて振動数、減衰率の計算値を示した。また、この解析法は、特に粘性抵抗力が集中的に作用する場合に限らなければあらゆる分布状に作用する場合にも適用されるがこれまた別途述べる。

\*13. 倉西 宏樹「タンバーはたわみ振動」 土木学会論文報告集 N.187.